

T N 842-72-01

〈調査報告〉

本資料は 年 月 日付けて登録区分、
変更する。 2001. 6. - 6

[技術情報室]

高速炉燃料再処理技術の開発

Development of Techniques for FBR Fuels Reprocessing

1972年6月

動力炉・核燃料開発事業団

東 海 事 業 所

本資料の全部または一部を複写・複製・転載する場合は、下記にお問い合わせください。

〒319-1184 茨城県那珂郡東海村大字村松4番地49
核燃料サイクル開発機構
技術展開部 技術協力課

Inquiries about copyright and reproduction should be addressed to:

Technical Cooperation Section,
Technology Management Division,
Japan Nuclear Cycle Development Institute
4-49 Muramatsu, Tokai-mura, Naka-gun, Ibaraki, 319-1184
Japan

© 核燃料サイクル開発機構 (Japan Nuclear Cycle Development Institute)
2001



高速炉燃料再処理技術の開発

報告者 東海事業所技術部

開発研究室

作成日 昭和47年4月30日

目的 高速炉燃料の再処理に関する技術開発の進め方、技術的問題点についてまとめる。

要旨 高速炉の使用済燃料の再処理と、再加工工程の完成は燃料サイクル確立の観点から
欠くことのできない重要問題である。

本報告は、将来の高速炉燃料を再処理するに当たり最も合理的かつ経済的な方法を開発するため、現時点で考えられる技術的問題点について論じ、技術開発の進め方の1つを示したものである。その基本的な考え方は、常陽、もんじゅあるいは次の実証炉の使用済燃料の処理をふまえて、高燃焼度、高プルトニウム濃度、燃料形状などの点で、軽水炉と異なった高速炉燃料の処理経験を積み重ねながら、实用高速炉燃料の再処理技術の開発をはかるというものである。

具体的には、技術開発の第一段階として、もんじゅの使用済燃料を供試試料とする再処理技術の開発施設の建設を主要な柱とし、そのため必要な技術および関連技術の開発を行なう。

高速炉燃料再処理技術の開発

1. まえがき

高速炉燃料はその形状、Pu含有量、燃焼度などが軽水炉のそれと異なるため在来（軽水炉燃料再処理）技術でカバーできない諸点が指摘される。したがって高速炉開発プロジェクトに炉および燃料の開発と平行してその使用済燃料処理技術の開発は不可欠である。

またわが国の燃料サイクル確立の観点から回収されるプルトニウム（ウラン）の再加工技術開発の関連において再処理技術の開発を行なう必要がある。

本計画は将来の高速炉使用済燃料を処理する場合、最も合理的かつ経済的な処理法の開発を行なうため現状技術調査に基づき工程設計をおこない技術開発に必要な施設を作りもんじゅ燃料を供試試料として試験を行なう。

2. 高速炉燃料再処理の開発に関する考え方

高速炉は軽水炉と異なり燃料中にFPが蓄積しても fissile material が存在する限り炉物理的見地からは燃焼挙動に障害を及ぼすことはないであろうと言われている。たゞし FP の増大にともなって高温下における被覆管との両立性あるいは燃料の変形などの燃料サイトにおける問題点は必ずしも明らかにされていない。燃料の繰り返し使用にあたり増大する高次化プルトニウムのために燃料再加工にあたっては遠隔自動化が必要となるので、ある限度内のFPの存在は許容されるであろう。燃料が何回リサイクルできるか、FP含有量がどこまで許容できるかは炉物理、被覆材料および加工施設の遠隔自動化の限界などの点から今後明らかにされてゆかねばならない問題である。

PuとUの分離の必要性ならびにFPの除去率がどのくらいまで必要であるかなどが分らないとどのような再処理プロセスが最適であるかを決めることは不可能である。

表-1に示すようにプロセスの除染率を目安とし、再処理プロセスを3分類することができる。高除染プロセスは在来の再処理の目標で工場規模で採用されているプロセスはすべてこの分類に入れることができる。高速炉が実用化時代に入った時点では低除染プロセスで充分であるという考え方が常識的である。この場合再処理工程は簡易化され再処理費は軽減される。ただし、実験炉・原型炉などによる燃料照射の実証試験と被覆材や遠隔加工技術の格段の進歩が伴わなければならぬ。

現時点での高速炉燃料の再処理技術の開発を考える場合基本的に2つの考え方がある。

- (1) 将來の実用高速炉を見越して、るべき姿としての再処理工程について基礎から積み重ねながら新再処理技術の開発をおこなう。
- (2) 常陽、もんじゅあるいは次の実証炉の使用済燃料の処理をふまえて、high burn up,

高濃度 Pu, 燃料形状などの点で軽水炉と異なった高速炉燃料の処理経験を積み重ねながら実用高速炉再処理技術の開発をはかる。

いずれの考え方をとるかにより開発の進め方ならびに開発のタイムスケジュールが異なる。

わが国の高速炉開発にともない実験炉、原型炉あるいは実証炉と次々に使用済燃料が排出される。これらの再処理をすべて外国に依存することは、わが国の燃料サイクルの観点からも高速炉開発プロジェクトの円滑な進展をはかるうえからも好ましいこととは思われない。そこで、将来の実用高速炉燃料の再処理技術の開発は(1)の場合については原研や大学などの研究機関でおこない、平行して動燃としては(2)の立場に立って技術開発を進め最終的に両者の開発結果を複合した新再処理工程の確立をはかることが合理的であると思われる。この理由としては、(1)の場合の目標としてむしろ低除染プロセスに関連する新技術の開発ということになり主として合理的な FP の分離プロセスの開発が重点になろう。(2)の場合は、高速炉特有の燃料形状にともなり問題点を除けば、高濃度 Pu, および High burn up などは現在の軽水炉燃料再処理技術 (Purex 法) でいつもカバーできるであろうことは「高速炉燃料温式分離に関する研究」の α -確性試験の結果から容易に¹⁾判断することができる。すなわち軽水炉燃料と異なる燃料形状に由来する前処理技術の開発 (Na 除去, アセンブリ解体と脱被覆ならびに揮発性 FP の除去など) に重点を置くことである。このような(1)と(2)の開発目標が是認されれば両者はむしろ平行して開発を進めることが最も合理的であるという理由が成り立つ。

さて、動燃として常陽、もんじゅあるいは実証炉の使用済燃料を試料として高速炉燃料に特有な前処理技術の開発をおこなうとすれば、開発のための施設は前記高速炉の燃料排出時期に合わせて建設することが好ましい。このような考え方方に立つと施設の建設計画は図-1 のようになる。開発施設の site, 規模, 内容 (予算も含む) は予備調査, 設計調査を経て、内外の情報収集と詳細な検討により遂次決められてゆくべきであろう。

(2)の場合に基づいた開発項目ならびに開発施設の規模、内容などを検討するにあたって参考となると思われるものとして付属資料を添付する。

表 1. 再処理プロセス

| | | | |
|---|--------------------|--------------------------------|--|
| a) 高除染プロセス | $D_F \approx 10^8$ | $< 1 \text{ mci FP/KgPu}$ | |
| i) 湿式法 (Purex 法) | | | |
| ii) ハロゲン揮発法 (フッ化物揮発法) | | | |
| b) 中除染プロセス | $D_F \approx 10^3$ | $\sim 10^2 \text{ Ci FP/KgPu}$ | |
| i) 湿式法 | | | 加工工程は自動化遠隔操作 |
| ii) ハロゲン揮発法 | | | |
| c) 低除染プロセス | $D_F \approx 10$ | $\sim 10^3 \text{ Ci FP/KgPu}$ | |
| i) Pyrochemical | | | 大部分の FP は燃料中に残留し、 fissile material を補充する。加工工程の自動化遠隔操作作， 炉中における燃料の炉物理的， 化学的（特に被覆管） performance の解明が必要 |
| ii) Pyrometallurgical | | | |
| d) 各プロセスに共通なもの | | | |
| 前処理（燃料輸送， Na 除去， disassembly, decanning) | | | |
| および廃棄物処理 | | | |

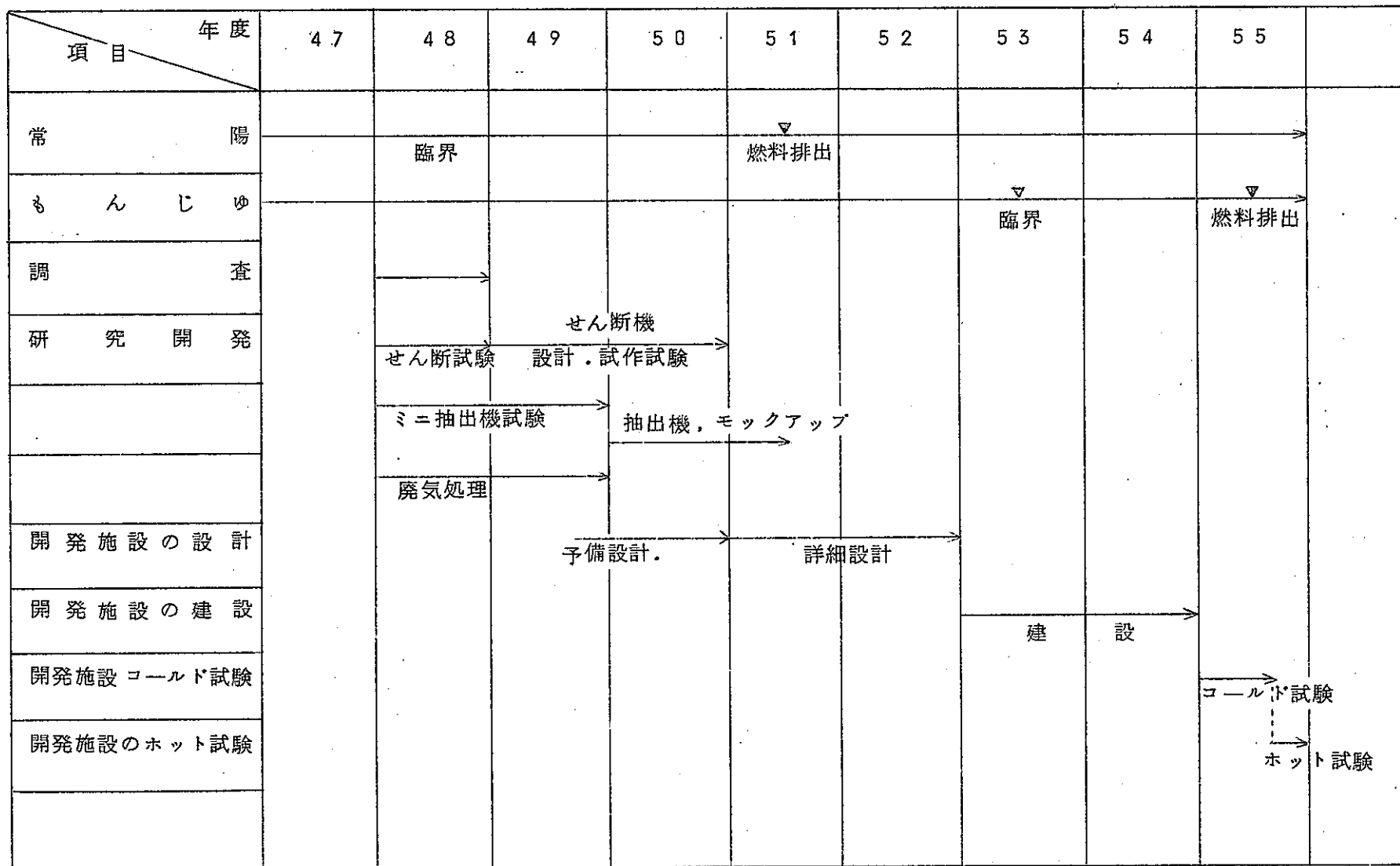


図 1. 高速炉燃料再処理開発計画

付 屬 資 料

高速炉燃料再処理の問題点

軽水炉（LWR）の使用済燃料の再処理は、現在ではすでに商業ベースで行なわれている。再処理法としては大部分の工場が Purex 法あるいは Purex 類似法といった湿式法を採用している。

一方、次の世代の原子炉といふことで新型転換炉（ATR）および高速増殖炉（FBR）の使用済燃料は LWR の使用済燃料に比して、比出力、燃焼度および Pu 含有量が可成り高い。このような燃料から Pu を回収するためには多くの問題を解決しなければならない。

比出力が高いため、燃料ピンの熱除去効率をよくするため、燃料棒の径を細くし、Na ポンドを使用することも考えられている。Na ポンドを用いないとしても、被覆管の破損により冷却材として使用する Na を燃料棒中に含む場合も考えられ、いずれれも前処理工程で除去する必要がある。

高燃焼率を達成し、高温における Na との両立性を考えると被覆管として V, Ni, 鉄合金が使用されると考えられ、その脱被覆は機械的な方法に、より指向するものと思われる。

燃料中の Pu 量が多く、Pu のインベントリが大となり、経済的な要請からなるべく冷却期間を短縮することが望ましい。この場合、燃料輸送、ハンドリング、再処理中の熱除去が問題になる。また短寿命の揮発性 FP の放出を規制するための技術も必要になって来る。Pu の含有量が多いのでプロセス機器の設計その他で臨界管理が必要である。

以上のべた FBR 燃料の特性、再処理の問題点について、少し詳しく説明する。

1. 高速炉燃料の特性

現在わが国で建設中の常陽、計画中のもんじゅを FBR の例とし、LWR の美浜 1 号および敦賀の燃料と比較して表 1 に示す。

FBR 燃料の特徴は燃料ピンの外径が細く、被覆管の肉厚がうすく、プルトニウムの装荷量が多く、燃焼度の高い点である。

同様な点について ORNL で検討された結果を参考までに表 2、表 3²⁾ に示す。コアとブランケットを平均した場合、燃焼率は LWR とあまり差がなくなっているが、Puについては FBR コアのみでは LWR の 10 倍、コアとブランケットをませた場合約 4 倍になると考えられている。

また常陽、もんじゅなどについて、使用済燃料の組成のうちで FP 量を図 1³⁾ に、またウラン、プルトニウムの組成を表 4³⁾ に示す。

これらのデータは、常陽コア、50,000 MWD/T、もんじゅコア 100,000 MWD/T、

であり、表1で示されたものと異なることをお断りしておく。ほぼ燃焼率に比例するものと考えてオーダーは推定できるであろう。ORNLでの計算例を表6²⁾に示した。コアのみの場合、LWRの数倍（同一冷却期間で比較）となる。同様にアクチナイド組成のORNLでの計算例を表7、表8²⁾に示す。LWRの場合に比してFBRのコアでは、除染の比較的むずかしい¹⁰⁶Ruが10倍近くになっており、安全上問題の多い¹³¹Iが数倍になっている。また超ウラン元素のうちで超プルトニウムの生成はPuを燃料とするFBRで当然多くなり、中性子の遮蔽や、プロダクトの取扱上注意が必要であろう。

照射後の被覆管の放射能を計算した結果についてORNLのものを参考までに表9²⁾に示す。FPの放射能の量に比してオーダーは小さいが、固体廃棄物の処理に関する施設を考えたり、コストを計算するのに必要となるものと思われる。
常陽およびもんじゅ燃料の主要仕様および燃焼特性をまとめて表5に示す。

2. 予想されるフローシート

前節でのべたようにFBR燃料はLWR燃料にくらべていくつかの相違点があり、これまでLWR燃料処理のために確立された技術をベースにするとしても、そのまま適用できない点がいくつか考えられる。将来のFBR燃料の再処理を考える場合、現在の技術を足がかりとして、必要な技術開発も含めた概念的なプロセスの流れを、1) コアのみを処理する場合、2) コアとブランケットをまぜて処理する場合について検討する。

(1) コア再処理フローシート

コア燃料（軸方向ブランケットを除く）を処理、再加工し、炉にリサイクルする場合を想定したもので、UとPuを分離しないで回収するフローシートでFig.2に示す。

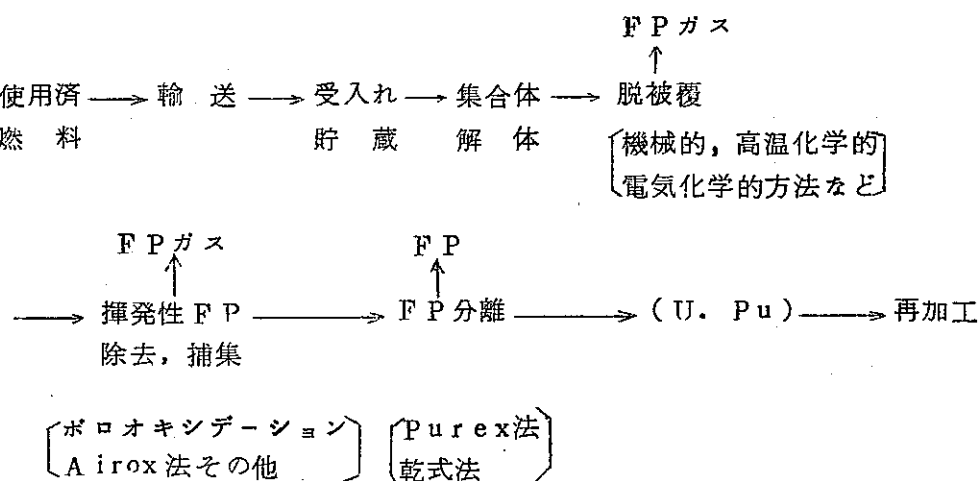


図2. コア再処理フローシート

(2) Pu 回収 フローシート

価値の高い Pu のみを回収しようというもので、コアとプランケットを一諸に処理することを考えたものである。

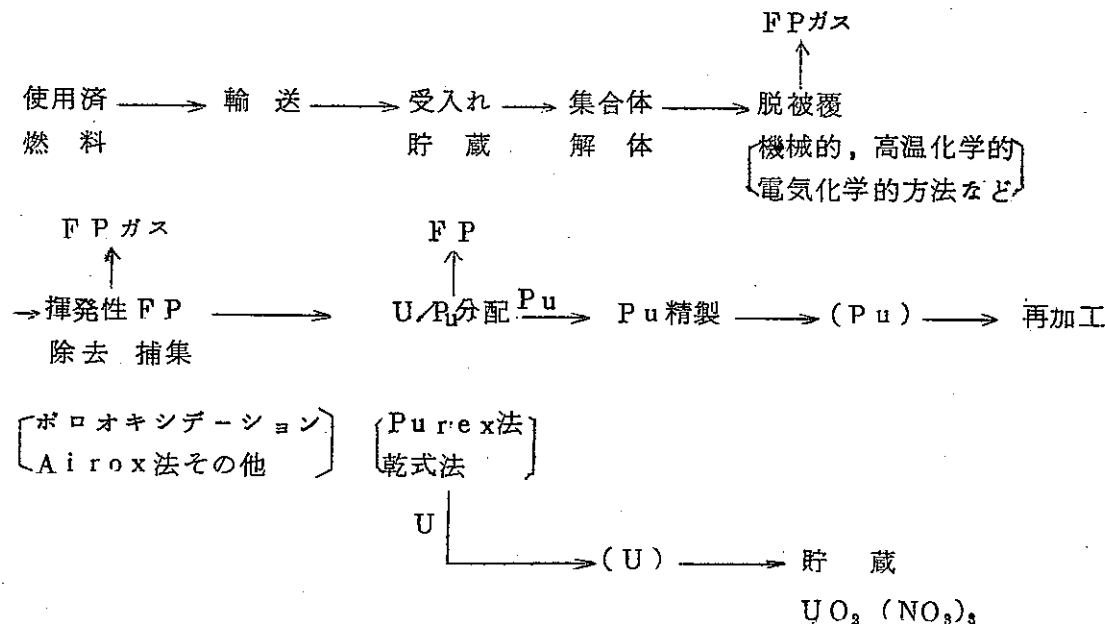


図3. コア+プランケット再処理フローント

両方のフローシートを LWR 燃料の湿式フローシートと比較した場合、いわゆるヘッドエンドの脱被覆まではほぼ同じであるが燃料の特性、燃焼特性の相違から現在の LWR 燃料の再処理で実用に供されているものがそのまま使えないで、熱除去、Na 除去などを考慮した FBR 用の施設の開発が必要である。

揮発性 FP の除去、捕集は、FBR の経済性から、冷却期間の短縮、工場の大容量化にともなって放射線安全の立場から、放射性の Kr, Xe, I, Tなどの放出の規制が将来問題になると考えられるので、なるべく濃い状態で除去、捕集し、貯蔵しておく必要があり、そのためのプロセスである。

分離、精製工程は大別して湿式法と乾式法が考えられ、Purex 法で、溶解と臨界制御の問題を除けば現在の技術の適用が考えられる。乾式法については除染率の大きなものとしてフッ化物揮発法が有望とされているが Pu の回収率に問題がありバイロット規模での研究が行なわれている段階である。その他の乾式法については除染率が低いので遠隔加工技術の開発にともない、再処理と再加工の両方を考慮して最適化を行なう段階で評価されることになろう。

3. 安全性に関する考察

フローシートに組み入れるべきプロセスがきまり、プラントが処理すべき燃料の量、組成、製品または廃棄物の組成、処理量がきまれば装置、施設の設計、プロセス条件の選定が可能であり、それらの臨界管理、被ばく管理、遮蔽計算については、これまでのデータならびにLWR燃料再処理工場の経験により十分目的を達することができるものと思われるが、関連するソフトウエアを整備し、適用性について検討し、必要ならばモディフィケーションを行なっておくべきである。

廃液管理については、プラント完成時あるいはそれ以降の放射性廃棄物放出の規制を予想し、それらを満足すべきものを開発する必要があり、FPの核種別にみればLWRの場合と比較して、FBR燃料の場合は組成に多少の差はあっても、処理技術としては現在の技術をベースにシステム化しても十分対処できるものと考えられるが、勿論より経済的で効果的な方法の開発も必要であろう。

揮発性FP特にTの除去、捕集については新しい技術の確立が不可欠である。

4. 処理施設の設計基準

FPR燃料を処理する施設を考える場合、その施設の能力、性能として次のような項目についてはっきりさせる必要があろう。

- (1) 立地条件（廃棄物との関連で安全性も含めて）
- (2) 処理すべき燃料の特性
- (3) 処理量
- (4) プロダクトとそのスペック、回収率
- (5) 廃棄物の処理、処分

これらをもとにして、フローシートをきめプロセスの選定あるいは開発を行なうことになる。

立地条件は経済性、プロセスの選定、施設そのものの安全性にも関係があり、サイトの決定は事前調査も必要であり重要な問題である。

燃料の特性は主として使用済燃料に関するもので炉側のデータあるいは計算コードによつて推定することができる。

項目としては、寸法、構造、材質、組成(FP、アクチナイト、発熱量など)、Naの量、被覆管の材料その他であろう。

処理量はFBR燃料の排出予想量をもとにし、どの時点でどのぐらいの容量の施設を建設すべきかについて調査する必要があろう。

プロダクトのスペックはFPの除染率をどのぐらいにとるか、不純物の量はどのぐらい

におさえるか、UとPuの分離が必要か、最終プロダクトの化学的な形をどうするかといったような点が問題で、回収率との関連でプロセスの選択がなされることになるであろう。

廃棄物の処理、処分についてはLWR燃料の処理施設についても将来いろいろ問題になることが予想されており、わが国においてはLWR燃料の再処理工場からでて来る高レベル廃液の最終処分の方法については國の方針がきまってないようである。施設としては、放出すべき気体および液体の廃棄物の量あるいは濃度をどのレベルで押えるかをきめれば、現在の処理技術（外国で実用化されているものを含めて）水準から、それらで十分かあるいは新しい技術の開発が必要かがきまつてくるであろう。

勿論、環境安全性と経済性の面から最適化が必要である。

参考文献

- 1) 星野、権田、安他；SN841-71-22，動燃東海，Aug. 1971
- 2) Chem, Tech, Div, ORNL; ORNL-4436, June, 1970
- 3) プル燃設計課；Pu燃Memo No D-71-009 S45年4月

表 1. 高速実験炉および原型炉の主要目(再処理に関連したもの)

| 主 要 目 | J o y o | M o n j u | 美 浜 1 | 敦 賀 |
|---|-------------------------------------|-------------------------|------------------|----------|
| | 実 験 炉 | 原 型 炉 | PWR 実用炉 | BWR 実用炉 |
| 原子炉燃出力 | 50 MW | 714 MW* | 1,031 | 970 |
| 燃料要素全長 | 1,900 mm | 2,800 mm ** | 3,476 | 4,345 |
| 燃料ベレット径 | 5.4 mm | 5.4 mm ** | | |
| 燃料被覆管外径 | 6.3 mm | 6.5 mm * | 10.72 | 14.3 |
| " 厚さ | 0.35 mm | 0.45 mm ** | 0.62 | 0.81 |
| 半径方向ブランケット燃料 | | | | |
| ベレット外径 | 13.6 mm | 10.4 mm ** | | |
| " 燃料要素全長 | 1,900 mm | 2,800 mm ** | | |
| " 被覆管厚さ | 0.6 mm | 0.5 mm ** | | |
| 炉心の U ₂₃₅ 濃縮度 | 23 W/O | — | 3.07 | 2.49 |
| 炉心の Pu 富化度 | 18 W/O | 内 外 * | | |
| | | 平衡 15.2 20.1 | | |
| | | 初期 14.8 19.9 | | |
| Pu の アイソトープ比 | | Pu fiss/U+Pu * | | |
| Pu ²³⁹ / Pu ²⁴⁰ / Pu ²⁴¹ | 70/25/5 | 75/20/5/0 * | | |
| 炉心燃料装荷量 | 763 kg / U + Pu | 5.64 t / Pu+U | 48 t | 60.677 t |
| ブランケット装荷量 | 軸方向 1015 kg / U 半径方向 6734 | 4.59 t / U 12.3 | | |
| 増殖比 | 1.0 | 初期 1.24 平衡 1.22 ** | | |
| 最大燃焼度(目標) | 25,000 MWD/T | 89,200 MWD/T | 27,000 | 16,500 |
| 被覆管材質 | SUS-32 | SUS-32 | | |
| 燃量予想排出量(t/y) | | | | |
| 炉心燃料 | Pu ca 0.12 * | 22.6 | | |
| 軸方向ブランケット | ²³⁵ U ca 0.13 | 1.76 | | |
| 半径方向ブランケット | DU ca 4 | 3.54 | | |
| | * Pu燃水田職員 Memo Joyo - 01-01より | * もんじゅ第1次 設計(46/10) | 再処理建設部武田 職員より | |
| | 調整設計後の値 | ** もんじゅ第1次 設計案(46/4) | | |
| | Pu燃大竹職員より | Pu燃大竹職員より | | |

Table 2. Fuel Comparison: Light-Water Reactors
and Future Fast Breeders

| | Typical Fast Reactor Fuel | $\text{UO}_2\text{-PuO}_2$ (with Pu Recycle) | IWR Fuel, ^b IWR Fuel, ^c UO_2 |
|---|------------------------------|---|---|
| Burnup, Mwd/ton | | | |
| Core | 80,000 | 33,900 | 20,300 |
| Core and blanket, average | 33,000 | | |
| Specific power, kw/kg fuel in core (at 85% load factor) | 148.8 | 33.76 | 33.61 |
| Decay heat, w/kg fuel | | | |
| 30-day decay: | | | |
| Core | 199 | 50.7 | 46.6 |
| Core and blanket | 82 | | |
| 150-day decay: | | | |
| Core | 76.4 | 21.5 | 16.9 |
| Core and blanket | 28 | | |
| Plutonium content, g/kg | | | |
| Fuel | | | |
| Core | 243 | 26.9 | 7.5 |
| Core and blanket; | 104 | | |
| 72% Pu is fissile | | | |
| Iodine, curies/ton after cooling period | <u>30-Day</u> | <u>150-Day</u> | <u>150-Day</u> |
| Core | 37×10^5 | 11.92 | 2.8 |
| Core and blanket | 15×10^5 | 4.92 | 2.57 |
| Process containment factor for 1-ton/day capacity | $\sim 10^8$ | $\sim 10^3$ | $\sim 10^2$ |

^aReactor No. 21. (LMFBR: Al reference oxide). See Fuel Recycle Task Force Report, WASH-1099 (in preparation).

^bReactor No. 16 (LWR: Pu recycle with tails). See Fuel Recycle Task Force Report, WASH-1099 (in preparation).

^cReactor No. 1 (IWR: UO_2). See Fuel recyle Task Force Report, WASH-1099 (in preparation).

Table 3. Comparison of Properties of FFTF and Conceptual LMFBR's

| | FFTF | AI | | Follow-On Plants ^a | | | |
|------------------------------|--------|--------|--------|-------------------------------|---------|---------|---------|
| | | Ref. | AI | B&W | CE | GE | W |
| | | Oxide | Oxide | Oxide | Carbide | Oxide | Carbide |
| Fuel form | | Oxide | Oxide | Oxide | Oxide | Carbide | Oxide |
| Nuclear data (at full power) | | | | | | | |
| Power, Mw(thermal) | 400 | 2500 | 2400 | 2450 | 2465 | 2417 | 2600 |
| Core | | | | | | | |
| Avg. sp. pwr., Mw/metric ton | | | | | | | |
| (U+Pu) | 158 | 175 | 115 | 103 | 122 | 157 | 161 |
| Burnup, Mwd/metric ton | 45,000 | 80,000 | 67,400 | 100,000 | 100,000 | 100,000 | 100,000 |
| Charge, metric ton (U+Pu) | 2.5 | 12.6 | 19.1 | 23.9 | 17.32 | 13.45 | 13.7 |
| Charge, metric ton (Fissile | | | | | | | |
| Pu) | 0.51 | 1.96 | 2.33 | 2.77 | 1.92 | 1.62 | 1.98 |
| Chage, Pu/(U+Pu) | 0.23 | 0.22 | 0.171 | 0.16 | 0.16 | 0.17 | 0.18 |
| Rod avg. linear pwr., kw/ft | 7.8 | 10.0 | 10.1 | 8.3 | 29.5 | 9.63 | 18.5 |
| Rod max. linear pwr., kw/ft | 13.1 | 16. | 16.0 | 14.4 | 43.5 | 16.3 | 39.2 |
| Max. clad. temp., °F | | 1230 | 1220 | 1174 | 1170 | 1300 | 1300 |
| Max. fuel temp., °F | 4200 | 4748 | | 4000 | 2310 | | 2630 |
| Axial blanket | | | | | | | |
| Avg. sp. pwr., Mw/metric | | | | | | | |
| ton (U) | 5.5 | 5.71 | 2.83 | 10.2 | 12.2 | | |
| Burnup, Mwd/metric ton (U) | 2500 | 3340 | 2000. | 7800 | 7200 | | |
| Charge, metric ton (U) | 7.32 | 13.1 | 19.1 | 25.97 | 15.0 | 11. | |

Table 3. (Cont'd.)

| | FFTF | AI Ref. Oxide | Follow-On Plants ^a | | | | |
|----------------------------------|--------|---------------------|-------------------------------|-------|--------|--------|-----------------------|
| | | | AI | B&W | CE | GE | W |
| Radial blanket | | | | | | | |
| Avg. sp. pwr., Mw/metric ton (U) | | 10. | 7.89 | 8.38 | 24.2 | 6.95 | 3.0 |
| Burnup, Mwd/metric ton (U) | 8100 | | 12,700 | 9000. | 57,000 | 7000 | |
| Charge, metric ton (U) | 26.7 | | 15.6 | 10.1 | 5.69 | 16.7 | 33. |
| Core-axial blanket fuel assembly | | | | | | | |
| Number per reactor | 76 | Hex. | 252 | Hex. | 274 | 288 | 219 |
| Shroud material | SS | | SS | | SS | SS | SS |
| Thickness, in | 0.140 | | 0.168 | | 0.140 | 0.128 | 0.050 |
| Length | | | | | | | |
| Core, in. | 36 | | 48 | | 42.8 | 34.7 | 24 |
| Axial blanket (each end), in. | | | 12 | | 12,15 | 14 | 18 |
| Plenum, in, | 36 | | 60 | | 38 | | 18 |
| Rod, in. | 87 | | 144 | | 110 | 66 | 79.8 |
| Overall, in. | 168 | | 212 | | 180 | 110 | 144 |
| Width or diameter, in. | 4.615 | | 5.4 | | 5.62 | 6.45 | 6.53 |
| Fuel rod data | | | | | | | |
| Number per assembly | 217 | | 217 | | 217 | 331 | 163 |
| Outside diameter, in. | 0.230 | | 0.25 | | 0.300 | 0.280 | 0.400 |
| Pitch, in. | 0.286 | | 0.341 | | 0.359 | 0.337 | 0.451 |
| Clad thickness, in. | 0.015 | | 0.015 | | 0.0175 | 0.010 | 0.011 |
| Clad material | 316 SS | | 304 SS | | 316 SS | 304 SS | 316 SS |
| Fuel density, % theoretical | 88 | | 88, 93 | | 88, 93 | 85 | 99 |
| Bond | He | | He | | He | He | 0.014 ^b Na |
| Vented? | No | | No | | No | Yes | Yes |
| Type of spacer | Wire | | Wire | | Wire | Ribbon | Wire |
| Spacer material | SS | | SS | | DD | SS | SS |
| Radial blanket assembly | | | | | | | |
| Number per reactor | | Hex. | | Hex. | | Hex. | Hex. |
| Length | | 147, 87 | 66, 72 | 138 | | 60 | 126 |
| Fuel, in. | 60, 48 | | 56, 43 | 42.7 | | 36 | 60 |
| Rod, in. | 84, 72 | | 66, 53 | 66 | | 51.8 | 82 |
| Overall, in. | 212 | | 180 | 110 | | 144 | 119 |
| | | | | | | | 69.3 |
| | | | | | | | 100 |
| | | | | | | | 122.5 |

Table 3. (Cont'd.)

| | FFTF | AI Ref. Oxide | AI | B&W | CE | Follow-On Plants ^a GE | W |
|-----------------------------|------|---------------------|------------|--------|----------------------|-------------------------------------|-----------|
| Width or diameter, in. | | 5.4 | 5.62 | 6.45 | 6.53 | 5.62 | 5.25 |
| Fuel rod data | | | | | | | |
| Number per assembly | | 169, 91 | 91, 61 | 91 | 91 | 127 | 60 |
| Outside diameter, in | | 0.35, 0.51 | 0.0, 0.62 | 0.610 | 0.600 | 0.42 | 0.55 |
| Pitch, ^c in. | | 0.36, 0.49 | 0.55, 0.68 | 0.640 | 0.652 | 0.47 | 0.604 |
| Clad thickness, in. | | 0.015 | 0.0175 | 0.017 | 0.020 | 0.015 | 0.012 |
| Clad material | | 304 SS | 316 SS | 304 SS | 316 SS | 316 SS | 316 SS |
| Fuel density, % theoretical | | 93 | 93 | 90 | 99 | 95 | Oxide, 95 |
| Bond | | He | He | He | 0.02 ^b Na | He | He |
| Vented? | | No | No | Yes | No | No | No |
| Type of spacer | | Wire | Wire | Ribbon | Wire | Wire | |
| Spacer material | | SS | SS | SS | SS | SS | |

^a AI = Atomics International; B&W = Babcock nad Wilcox; CE = Combustion Engineering; GE = General Electric; W = Westinghouse.

^b Inches.

^c The Westinghouse rods have a square pitch; all others have a triangular pitch.

[Pu 燃 Memo No.]
D-71-0091

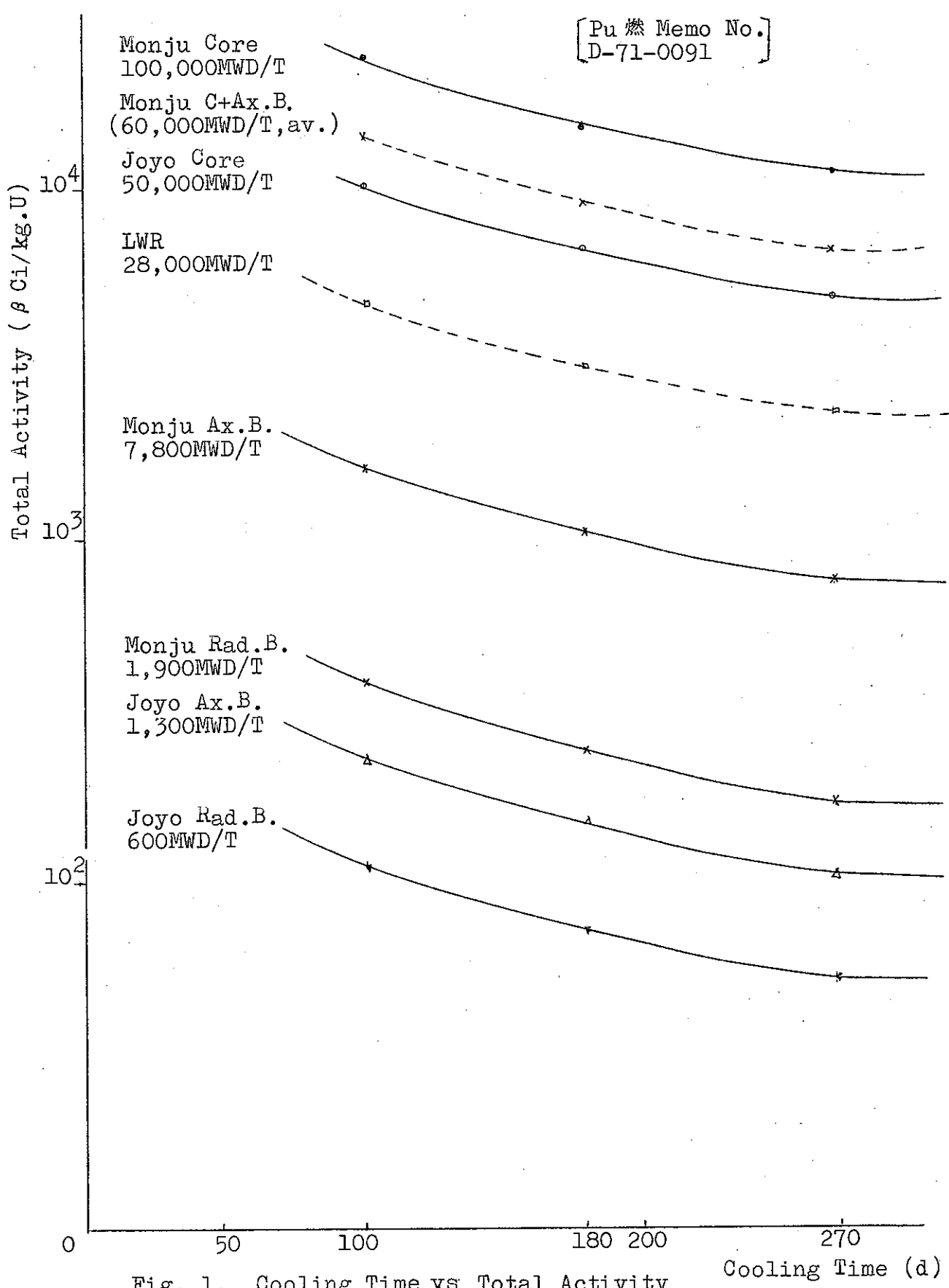


Fig. 1. Cooling Time vs Total Activity

表4 燃料の燃焼特性

| | 常 | | | 陽 50 Mwth | | | [もんじゅ 750 Mwth] | | | LWR |
|------------|-----------------------------------|-----------------|-----------------|-----------------------------------|-----------------|-----------------|-----------------|-----------------|-----------------|--------|
| | コア | 軸方向 プランケット | 半径方向 プランケット | コア | 軸方向 プランケット | 半径方向 プランケット | UO ₂ | UO ₂ | UO ₂ | |
| 核燃料物質 | PuO ₂ -UO ₂ | UO ₂ | UO ₂ | PuO ₂ -UO ₂ | UO ₂ | LWR |
| 装荷量 | 763 Kg | 1,015 Kg | 6.734 Kg | 5.64 t | 4.39 t | 1.23 t | ~60 t | ~60 t | ~60 t | LWR |
| 照射前燃料組成 | | | | | | | | | | |
| U-235 | 18.9% | 0.7% | 0.7% | | | | | | | ~ 4 |
| U-238 | 63.2 | 99.3 | 99.3 | 78%* | | | 100%* | | | 96~ |
| Pu-239 | 12.7 | | | | 15(fissile) | | | | | |
| Pu-240 | 4.4 | | | | 7(Non f) | | | | | |
| Pu-242 | 0.9 | | | | | | | | | |
| | 0.1 | | | | | | | | | |
| 照射後燃料組成 | | | | | | | | | | |
| U-235 | 15.9% | 0.66% | 0.68% | | * | | | | | |
| U-236 | 0.6 | | | ~70% | | | 97%* | | | |
| U-238 | 61.8 | 98.6 | 98.7 | ~13(fissile) | | 2(fissile) | | | | ~1.1% |
| Pu-239 | 11.8 | 0.66 | 0.37 | ~7(Non f) | | 0.2(Non f) | | | | |
| Pu-240 | 4.4 | | | | | | | | | |
| Pu-241 | 0.9 | | | | | | | | | |
| Pu-242 | 0.1 | | | | | | | | | |
| FP | 4.5 | 0.1 | 0.66 | ~10 | | | 0.8 | | | |
| 燃焼度(MWD/T) | 50,000 | 1,300 | 600 | 100,000 | | | 7,000 | | | 28,000 |

※ 組成はANL-7137(1966)を参考にした。

表5 常陽およびもんじゅの燃料仕様並びに燃焼特性(まとめ)

| 常 阳 50 MWt | | | | | | もんじゅ 750 MWt | | | |
|-------------------|-------------------|---------|-------------|-------------------|--|-------------------------|-------------------------|-------------------------|---|
| | | 炉心領域 | 軸方向プランケット領域 | 半径方向プランケット領域 | 備 考 | 炉心領域内外 | 軸 方 向 プランケット領域 | 半径 方 向 プランケット領域 | 備 考 |
| 1. 燃焼度 | Mwd/T | 50,000 | 1,300 | 600 | | 100,000 | 7,800 | 1,900 | |
| 2. 熱出力 | MW(t) | 65.6 | 3.0 | 9.3 | | 132 | 10 | 2.5 | |
| 3. 炉内装荷量 | T (U+Pu) | 763Kg | 1,015 | 6,734 | 炉心 PuO ₂ 163Kg UO ₂ 740 | 5.64×10 ⁸ | 4.39×10 ⁸ | 1.23×10 ⁴ | 5.64×10 ⁸ Kg/Pu+U 14% 96体 19.6% 96体 |
| 4. 年間取替量 | " (763Kg) | (508Kg) | (3,370Kg) | | | 2.26×10 ⁸ Kg | 1.76×10 ⁸ Kg | 3.51×10 ⁸ Kg | |
| 5. 分裂性Pu 年間装荷量 | Kg (239+241) | 103Kg | 0 | 0 | 炉心 Ufissile 144Kg/y 137Kg/y Pu | 400Kg | 0 | 0 | |
| 6. 分裂性Pu 年間取出量 | " | 9.65 | 3.6 | 13.3 | Ufissile 121Kg/y | 244Kg | 9.6 | 14.0 | |
| 7. 初期濃縮度 | % | 20.0 | 0 | 0 | 20% PuO ₂ 23.3% UO ₂ | 1.51 20.4 | 0 | 0 | Pu fissile |
| 8. 被覆管外径 | mm | 6.30 | 6.30 | ペレット O.D. 13.6 | | 6.5 6.5 | 6.5 | ペレット O.D. 10.4 | |
| 9. 被覆管厚み | " | 0.35 | 0.35 | 0.6 | | 0.45 0.45 | 0.45 | 0.5 | |
| 10. 燃焼部長さ | " | 600 | 400 | | | 900 | 350 | | |
| 11. プレナム長 | " | 400 | | | | 1,130 | | | |
| 12. 燃焼ピン全長 | " | 1,900 | | 1,900 | | 2,800 | 2,800 | | |
| 13. 燃焼密 度 | g/cm ³ | 1.039 | 1.030 | 1.030 | | 9.67 | 1.030 | 1.030 | c.f データ |
| 14. 増殖比 | | | | 1.01 | | 0.61 (0.61) | 0.28 (0.26) | 0.35 (0.35) | 1.20(平衡 1.25) |

Table 6. Fission Product Activity of Spent IMFBR Core Fuel as a Function of Decay Time

Burnup = 80,000 Mwd/metric ton

Specific power = 148.15 Mw/metric ton

Nuclide activities are given in curies per metric ton
(U+Pu) charged to core

| on Discharge from Reactor | After Cooling Times of: | | | | |
|---------------------------------------|-------------------------|-----------|-----------|-----------|-----------------|
| | 30 days | 90 days | 150 days | 3 years | 30 years |
| ³ H | 2,340 | 2,330 | 2,310 | 2,290 | 1,980 432 |
| ⁸⁵ Kr | 24,900 | 24,800 | 24,500 | 24,300 | 20,600 3,610 |
| ⁸⁶ Rb | 8,150 | 2,670 | 288 | 31 | |
| ⁸⁹ Sr | 2,240,000 | 1,500,000 | 674,000 | 303,000 | 1.01 |
| ⁹⁰ Sr+ ⁹⁰ Y | 209,000 | 206,000 | 204,000 | 204,000 | 191,000 98,200 |
| ⁹¹ Y | 3,080,000 | 2,170,000 | 1,170,000 | 527,000 | 7.56 |
| ⁹⁵ Zr | 7,050,000 | 5,120,000 | 2,700,000 | 1,420,000 | 59.2 |
| ^{95m} Nb | 141,000 | 109,000 | 57,300 | 30,200 | 1.26 |
| ⁹⁵ Nb | 6,970,000 | 6,510,000 | 4,460,000 | 2,660,000 | 126 |
| ⁹⁹ Mo+ ^{99m} Tc | 13,950,000 | 8,510 | 0.00289 | | |
| ¹⁰³ Ru+ ^{103m} Rh | 14,480,000 | 8,570,000 | 3,000,000 | 1,049,000 | 0.0675 |
| ¹⁰⁶ Ru+ ¹⁰⁶ Rh | 6,820,000 | 6,460,000 | 5,760,000 | 5,140,000 | 862,000 0.00698 |
| ^{110m} Ag | 4,650 | 4,280 | 3,630 | 3,080 | 231 |
| ¹¹⁰ Ag | 323,000 | 557 | 472 | 401 | 300 |
| ¹¹¹ Ag | 505,000 | 31,600 | 123 | 0.482 | |
| ^{113m} Cd | 341 | 340 | 337 | 334 | 294 77.3 |
| ^{115m} Cd | 954 | 558 | 224 | 85.0 | |
| ^{119m} Sn | 49.9 | 46.0 | 38.9 | 32.9 | 2.39 |
| ^{121m} Sn | 142 | 142 | 142 | 138 | 108 |
| ^{123m} Sn | 2,070 | 1,750 | 1,250 | 900 | 4.74 |
| ¹²⁵ Sn | 153,000 | 16,700 | 200 | 2.40 | |
| ¹²⁵ Sb | 50,500 | 50,700 | 48,800 | 46,700 | 24,000 23.4 |
| ^{125m} Te | 17,100 | 17,900 | 18,700 | 18,600 | 9,960 9.7 |
| ¹²⁶ Sb | 10,200 | 1,940 | 73.8 | 6.85 | 4.36 4.36 |
| ¹²⁷ Sb | 846,000 | 4,040 | 0.0888 | | |
| ^{127m} Te+ ¹²⁷ Te | 1,023,000 | 315,000 | 213,000 | 145,600 | 354 |
| ^{129m} Te | 818,000 | 446,000 | 131,000 | 38,600 | |
| ¹²⁹ Te | 1,960,000 | 286,000 | 84,100 | 24,800 | |
| ¹²⁹ I | 0.129 | 0.131 | 0.132 | 0.133 | 0.133 0.133 |

Table 6. (continued)

| | On Discharge from Reactor | After Cooling Times of: | | | | |
|---------------------------------------|------------------------------|-------------------------|------------|------------|-----------|----------|
| | | 30 days | 90 days | 150 days | 3 years | 30 years |
| ¹³¹ I | 4,320,000 | 336,000 | 1,920 | 10.9 | | |
| ^{131m} Xe | 45,100 | 15,100 | 581 | 17.9 | | |
| ¹³² Te+ ¹³² I | 12,140,000 | 20,500 | 0.0583 | | | |
| ¹³³ Xe | 7,920,000 | 181,000 | 67.5 | 0.0252 | | |
| ¹³⁴ Cs | 78,600 | 76,500 | 72,400 | 68,400 | 28,500 | 3.16 |
| ¹³⁶ Cs | 365,000 | 73,800 | 3,010 | 123 | | |
| ¹³⁷ Cs+ ^{137m} Ba | 515,000 | 514,000 | 512,000 | 510,000 | 480,000 | 257,000 |
| ¹⁴⁰ Ba+ ¹⁴⁰ La | 12,960,000 | 2,690,000 | 104,500 | 4,060 | | |
| ¹⁴¹ Ce | 6,760,000 | 3,580,000 | 991,000 | 275,000 | | |
| ¹⁴³ Pr | 6,380,000 | 1,850,000 | 89,000 | 4,270 | | |
| ¹⁴⁴ Ce+ ¹⁴⁴ Pr | 6,820,000 | 6,180,000 | 5,340,000 | 4,620,000 | 458,000 | |
| ¹⁴⁷ Nd | 2,830,000 | 434,000 | 10,300 | 242 | | |
| ¹⁴⁷ Pm | 812,000 | 822,000 | 792,000 | 758,000 | 382,000 | 302 |
| ^{148m} Pm | 177,000 | 108,000 | 40,000 | 14,900 | | |
| ¹⁵¹ Sm | 10,900 | 10,900 | 10,900 | 10,800 | 10,600 | 8,620 |
| ¹⁵⁴ Eu | 2,530 | 2,520 | 2,500 | 2,490 | 2,220 | 690 |
| ¹⁵⁵ Eu | 209,000 | 202,000 | 190,000 | 178,000 | 66,200 | 2.14 |
| ¹⁵⁶ Eu | 304,000 | 77,600 | 4,850 | 303 | | |
| ¹⁶⁰ Tb | 34,100 | 25,600 | 14,400 | 8,070 | 0.906 | |
| ¹⁶¹ Tb | 47,400 | 2,330 | 5.61 | 0.0135 | | |
| ¹⁶² Gd+ ^{162m} Tb | 24,200 | 22,800 | 20,400 | 18,140 | 3,020 | |
| Total curies /metric ton | 621,000,000 | 48,800,000 | 26,800,000 | 18,200,000 | 2,540,000 | 370,000 |
| Beta power, w/metric ton | 4,140,000 | 100,000 | 62,100 | 48,700 | 6,980 | 585 |
| Gamma power, w/metric ton | 2,210,000 | 95,600 | 43,900 | 25,700 | 1,840 | 494 |

Table 7. Isotopic Composition of Actinides in Spent LMFBR Core Fuel as a Function of Decay Time

Burnup = 80,000 Mwd/metric ton

Specific power = 148.15 Mw/metric ton

Nuclide concentrations are given in grams per metric ton (U+Pu) charged to core

N 842-72-01

-20-

| | As Charged to Reactor | On Discharge from Reactor | After Cooling Times of: | | | |
|-------------------|--------------------------|------------------------------|-------------------------|---------|----------|---------|
| | | | 30 days | 90 days | 150 days | 3 years |
| ⁴ He | 0 | 1.66 | 1.82 | 2.10 | 2.33 | 4.10 |
| ²³³ U | 0 | 0.00122 | 0.00122 | 0.00122 | 0.00122 | 0.00122 |
| ²³⁴ U | 0 | 21.8 | 22.9 | 25.2 | 27.6 | 64.2 |
| ²³⁵ U | 0 | 6.18 | 6.44 | 6.98 | 7.51 | 15.9 |
| ²³⁶ U | 0 | 8.72 | 9.15 | 10.0 | 10.9 | 24.6 |
| ²³⁸ U | 782,000 | 719,000 | 719,000 | 710,000 | 719,000 | 719,000 |
| ²³⁷ Np | 0 | 176 | 179 | 180 | 180 | 190 |
| ²³⁶ Pu | 0 | 0.00178 | 0.00175 | 0.00168 | 0.00162 | 0.00086 |
| ²³⁸ Pu | 2,590 | 1,820 | 1,830 | 1,840 | 1,840 | 1,490 |
| ²³⁹ Pu | 130,000 | 116,000 | 117,000 | 117,000 | 117,000 | 116,000 |
| ²⁴⁰ Pu | 51,800 | 52,400 | 52,400 | 52,400 | 52,400 | 52,300 |
| ²⁴¹ Pu | 26,000 | 14,500 | 14,500 | 14,400 | 14,200 | 12,400 |
| ²⁴² Pu | 8,760 | 9,020 | 9,020 | 9,020 | 9,020 | 9,020 |
| ²⁴¹ Am | 0 | 1,270 | 1,330 | 1,460 | 1,590 | 3,410 |
| ²⁴² Am | 0 | 24.6 | 24.6 | 24.6 | 24.6 | 21.5 |
| ²⁴³ Am | 0 | 710 | 711 | 711 | 711 | 710 |
| ²⁴² Cm | 0 | 61.6 | 54.6 | 42.3 | 32.0 | 0.645 |
| ²⁴³ Cm | 0 | 2.32 | 2.32 | 2.31 | 2.30 | 2.17 |
| ²⁴⁴ Cm | 0 | 42.3 | 42.2 | 41.9 | 41.7 | 37.7 |
| Total | 1,000,000 | 915,000 | 915,000 | 915,000 | 915,000 | 915,000 |

Table 8. Radioactivity of Actinides in Spent LMFBR Core Fuel as a Function of Decay time

Burnup = 80,000 Mwd/metric ton

Specific power = 148.15 Mw/metric ton

Nuclide activities are given in curies per metric ton (U+Pu) charged to core

N 842-72-01

-21-

| | Charged to Reactor | Diacharged from Reactor | After Cooling Times of: | | | |
|--------------------------------|--------------------|-------------------------|-------------------------|-----------|-----------|-----------|
| | | | 30 days | 90 days | 150 days | 3 years |
| 223 _{Th+} daughters | 0 | 0.00519 | 0.0060 | 0.00816 | 0.0107 | 0.0744 |
| 232 _U | 0 | 0.00595 | 0.00668 | 0.00812 | 0.00949 | 0.0249 |
| 234 _U | 0 | 0.135 | 0.142 | 0.156 | 0.171 | 0.397 |
| 237 _U | 0 | 302,000 | 13,900 | 29.2 | 0.0617 | 2.52 |
| 238 _U | 0.260 | 0.239 | 0.239 | 0.239 | 0.239 | 0.239 |
| 237 _{Np} | 0 | 0.124 | 0.127 | 0.127 | 0.127 | 0.134 |
| 239 _{Np} | 0 | 81,500,000 | 11,900 | 137 | 137 | 137 |
| 236 _{Pu} | 0 | 0.946 | 0.931 | 0.894 | 0.859 | 0.458 |
| 238 _{Pu} | 43,800 | 30,700 | 30,800 | 31,000 | 31,100 | 31,000 |
| 239 _{Pu} | 7,940 | 7,120 | 7,150 | 7,150 | 7,150 | 7,140 |
| 240 _{Pu} | 11,400 | 11,600 | 11,600 | 11,600 | 11,600 | 11,500 |
| 241 _{Pu} | 2,970,000 | 1,660,000 | 1,650,000 | 1,640,000 | 1,620,000 | 1,420,000 |
| 242 _{Pu} | 34.2 | 35.2 | 35.2 | 35.2 | 35.2 | 35.2 |
| 241 _{Am} | 0 | 4,120 | 4,320 | 4,730 | 5,140 | 11,100 |
| 242 _m _{Am} | 0 | 239 | 239 | 239 | 239 | 236 |
| 242 _{Am} | 0 | 393,000 | 239 | 239 | 239 | 236 |
| 243 _{Am} | 0 | 137 | 137 | 137 | 137 | 136 |
| 242 _{Cm} | 0 | 204,000 | 181,000 | 140,000 | 109,000 | 2,130 |
| 243 _{Cm} | 0 | 107 | 107 | 106 | 106 | 100 |
| 244 _{Cm} | 0 | 3,430 | 3,420 | 3,400 | 3,380 | 3,060 |
| Total | 3,030,000 | 167,000,000 | 1,920,000 | 1,840,000 | 1,790,000 | 1,480,000 |
| | | | | | | 422,000 |

Table 9. Cladding Activity of Spent LMFBR Core Fuel as a Function of Decay Time

Burnup = 80,000 Mwd/metric ton

Specific power = 148.15 Mw/metric ton

Nuclide activities are given in curies per metric ton (U+Pu)
charged to core

| On Discharge from Reactor | After Cooling Times of: | | | | |
|------------------------------|-------------------------|---------|----------|---------|----------|
| | 30 days | 90 days | 150 days | 3 years | 30 years |
| ¹⁴ C | 0.0584 | 0.0584 | 0.0584 | 0.0504 | 0.0583 |
| ³² P | 2,310 | 539 | 29.4 | 1.61 | |
| ³³ P | 13.5 | 5.86 | 1.11 | 0.210 | |
| ⁵¹ Cr | 61,700 | 29,200 | 6,550 | 1,470 | |
| ⁵⁴ Mn | 150,000 | 140,000 | 122,000 | 107,000 | 12,200 |
| ⁵⁵ Fe | 76,000 | 74,300 | 71,200 | 68,100 | 34,100 |
| ⁵⁹ Fe | 10,300 | 6,520 | 2,590 | 1,030 | |
| ⁵⁸ Co | 410,000 | 307,000 | 171,000 | 95,500 | 10.00 |
| ⁶⁰ Co | 1,350 | 1,330 | 1,310 | 1,280 | 908 |
| ⁵⁹ Ni | 2.13 | 2.13 | 2.13 | 2.13 | 2.13 |
| ⁶³ Ni | 67.8 | 67.7 | 67.6 | 67.6 | 54.1 |
| Total | 1,270,000 | 559,000 | 375,000 | 274,000 | 47,400 |